

УДК 536.21

**Определение верхней и нижней границ  
эффективных коэффициентов теплопроводности  
пространственно-армированных композитов  
на основе энергетического критерия  
эквивалентности\***

**А.П. Янковский**

*Институт теоретической и прикладной механики  
им. С.А. Христиановича СО РАН, Новосибирск*

E-mail: nemirov@itam.nsc.ru

Предложены модели теплопроводности пространственно-армированной волокнистой среды при общей анизотропии материалов компонент композиции, базирующиеся на условии равенства диссипации в эквивалентном материале и рассматриваемом композите. Проведено сравнение расчетных значений эффективных коэффициентов теплопроводности однонаправленно и перекрестно армированных композитов с экспериментальными данными; продемонстрировано удовлетворительное согласование расчетных и экспериментальных значений этих величин. Показано, что предложенные модели дают оценки сверху и снизу для расчетных значений эффективных коэффициентов теплопроводности волокнистой композиции.

**Ключевые слова:** композиты, пространственное армирование, структурная теория, теплопроводность, анизотропия общая, энергетическая эквивалентность, верхняя и нижняя оценки, сравнение с экспериментом.

**Введение**

Традиционной структурой композиционных материалов является слоистая (например, в тонкостенных конструкциях типа оболочек и пластин), когда траектории армирования лежат в плоскостях слоев, связь между которыми осуществляется через прослойки связующего (критический анализ некоторых структурных моделей теплофизического поведения таких композитов проведен в работах [1, 2]). Однако особое внимание к себе привлекают композиционные материалы с пространственным расположением арматуры. Целесообразность пространственного расположения арматуры определяется не только возможностью ликвидировать такой недостаток слоистых композитов, как опасность расслоения вследствие слабого сопротивления сдвигу и поперечному отрыву, но и возможностью локализовать в пределах нескольких пространственных ячеек распространение трещин.

---

\* Работа выполнена при финансовой поддержке РФФИ (проект № 10-01-90402-Укр\_а) и Президиума СО РАН (постановление № 10 от 15.01.09, проект № 72).

Этим резко повышается несущая способность материала в толстостенных конструкциях, особенно в зонах приложения локализованных нагрузок и концентраторов напряжений при нестационарных термосиловых воздействиях, характерных для современных технических устройств [3]. Кроме того, при эксплуатации гибких тонкостенных волокнистых конструкций изначально плоские структуры армирования могут в процессе деформирования трансформироваться в пространственные структуры.

В связи с этим актуальной является проблема моделирования процессов теплопроводности в пространственно-армированных средах с произвольной анизотропией материалов компонент композиции. Изучению этого вопроса посвящена настоящая работа, которая в этом смысле продолжает исследования, опубликованные в [2], где рассматривался частный случай такого армирования, а именно, случай ориентации волокон по трем взаимно ортогональным направлениям.

### Структурные модели теплопроводности пространственно-армированного гибридного композита

Так как наличие арматуры с различными физико-механическими характеристиками значительно расширяет диапазон свойств композиционных материалов с пространственной схемой армирования [3], то в глобальной декартовой системе координат  $x_1, x_2, x_3$  рассмотрим гибридный композит, армированный в произвольных направлениях  $N$  семействами прямолинейных волокон (возможно, разной физической природы) с интенсивностями  $\omega_k$  ( $k = 1, 2, \dots, N$ ). Удельное объемное содержание связующего обозначим через  $\omega_0$ , тогда имеет место условие нормировки

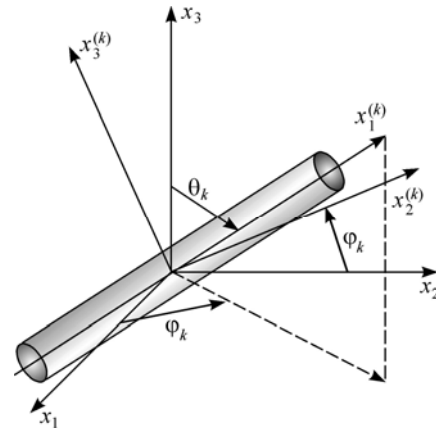
$$\omega_0 + \sum_k \omega_k = 1 \quad (\omega_0 > 0, \quad \omega_k \geq 0, \quad 1 \leq k \leq N) \quad (1)$$

(здесь и далее суммирование производится по указанному индексу от 1 до  $N$ , если не указаны пределы).

Кроме условия нормировки (1) должны выполняться и физические условия взаимного непроникновения материалов различных компонент композиции. Эти условия накладывают определенные ограничения на предельно допустимые значения суммарных плотностей армирования (на значение суммы, определенной в (1)) при плотной упаковке армирующих элементов. Так, в работе [3] приведены указанные предельные значения для некоторых структур пространственного армирования композитной среды, которые меньше единицы. Далее в настоящем исследовании предполагается, что эти ограничения на значения суммарных плотностей армирования выполняются. (При построении моделей теплофизического поведения рассматриваемого композита знание конкретных чисел  $\omega_0, \omega_k$  не обязательно, важным является выполнение условия нормировки (1).)

С каждым  $k$ -м семейством волокон свяжем свою локальную ортогональную систему координат  $x_1^{(k)}, x_2^{(k)}, x_3^{(k)}$  ( $k = 1, 2, \dots, N$ ) так, чтобы ось  $x_1^{(k)}$  совпадала с направлением траекторий армирования этого семейства, а оси  $x_2^{(k)}, x_3^{(k)}$  были перпендикулярны этим траекториям (см. рис.). Углы между глобальными и локальными осями определяются табл. 1 направляющих косинусов.

Все компоненты композиции предполагаются анизотропными материалами, причем для удобства изложения (хотя это и не принципиально) теплофизические характеристики связующего заданы в глобальной системе координат  $x_1, x_2, x_3$ ,

Рис. Локальная система координат, связанная с волокном  $k$ -го семейства.

а волокон  $k$ -го семейства — в локальной системе  $x_1^{(k)}, x_2^{(k)}, x_3^{(k)}$ ; эффективные характеристики композиции определяются также в глобальной системе координат.

Согласно вышеизложенному, соотношения закона теплопроводности Фурье для эквивалентной композитной среды и компонент композиции в матричной форме имеют вид

$$\mathbf{q} = -\Lambda \mathbf{g}, \quad \mathbf{q}_0 = -\Lambda_0 \mathbf{g}_0, \quad \bar{\mathbf{q}}_k = -\bar{\Lambda}_k \bar{\mathbf{g}}_k \quad (k=1, 2, \dots, N), \quad (2)$$

где

$$\begin{aligned} \mathbf{q}^* &= \{q_1, q_2, q_3\}, \quad \mathbf{g}^* = \{g_1, g_2, g_3\}, \quad \mathbf{g} = \text{grad}_x T, \quad \mathbf{q}_0^* = \{q_1^{(0)}, q_2^{(0)}, q_3^{(0)}\}, \\ \mathbf{g}_0^* &= \{g_1^{(0)}, g_2^{(0)}, g_3^{(0)}\}, \quad \mathbf{g}_0 = \text{grad}_x T_0, \quad \bar{\mathbf{q}}_k^* = \{\bar{q}_1^{(k)}, \bar{q}_2^{(k)}, \bar{q}_3^{(k)}\}, \\ \bar{\mathbf{g}}_k^* &= \{\bar{g}_1^{(k)}, \bar{g}_2^{(k)}, \bar{g}_3^{(k)}\}, \quad \bar{\mathbf{g}}_k = \text{grad}_{x_k} T_k \quad (1 \leq k \leq N), \end{aligned} \quad (3)$$

“звездочка” означает операцию транспонирования;  $\Lambda = (\lambda_{ij}^{(0)})$ ,  $\Lambda_0 = (\lambda_{ij}^{(0)})$ ,  $\bar{\Lambda}_k = (\bar{\lambda}_{ij}^{(k)})$  —  $3 \times 3$  симметричные матрицы коэффициентов теплопроводности фиктивного материала, связующего и волокон  $k$ -го семейства соответственно,  $\mathbf{q}$ ,  $\mathbf{q}_0$ ,  $\bar{\mathbf{q}}_k$  — векторы тепловых потоков в тех же материалах соответственно,  $T$ ,  $T_0$ ,  $T_k$  — температуры в тех же материалах соответственно,  $\text{grad}_x$ ,  $\text{grad}_{x_k}$  — вычисление градиента в глобальной  $x_1, x_2, x_3$  и локальной  $x_1^{(k)}, x_2^{(k)}, x_3^{(k)}$  системах координат соответственно. В соотношениях (2), (3) и далее чертой сверху будем обозначать величины, определенные в локальной системе координат  $x_1^{(k)}, x_2^{(k)}, x_3^{(k)}$ , связанной с  $k$ -м семейством волокон, а те же величины, определенные в глобальной системе  $x_1, x_2, x_3$ , будем обозначать теми же символами, но без черты.

В случаях, когда волокна изготовлены из изотропных или моноотропных (с главной осью анизотропии, совпадающей с направлением армирования) материалов, направляющие косинусы  $l_{ij}^{(k)}$  (см. табл. 1) можно однозначно определить с помощью двух углов сферической системы координат (см. рис.): полярного расстоя-

Таблица 1

Направляющие косинусы между глобальной и  $k$ -й локальной системами координат [4]

Оси	$x_1$	$x_2$	$x_3$
$x_1^{(k)}$	$l_{11}^{(k)}$	$l_{12}^{(k)}$	$l_{13}^{(k)}$
$x_2^{(k)}$	$l_{21}^{(k)}$	$l_{22}^{(k)}$	$l_{23}^{(k)}$
$x_3^{(k)}$	$l_{31}^{(k)}$	$l_{32}^{(k)}$	$l_{33}^{(k)}$

ния  $\theta_k$  и долготы  $\varphi_k$ . При этом ось  $x_2^{(k)}$  удобно получить поворотом оси  $x_2$  на угол  $\varphi_k$  вокруг оси  $x_3$  (именно этот случай изображен на рисунке), а направление оси  $x_3^{(k)}$  определяется векторным произведением ортов, задающих направления  $x_1^{(k)}, x_2^{(k)}$ . Направляющие косинусы  $l_{ij}^{(k)}$  при таком задании локальной системы координат вычисляются по формулам:

$$\begin{aligned} l_{11}^{(k)} &= \sin \theta_k \cos \varphi_k, & l_{12}^{(k)} &= \sin \theta_k \sin \varphi_k, & l_{13}^{(k)} &= \cos \theta_k, \\ l_{21}^{(k)} &= -\sin \varphi_k, & l_{22}^{(k)} &= \cos \varphi_k, & l_{23}^{(k)} &= 0, & l_{31}^{(k)} &= -\cos \theta_k \cos \varphi_k, \\ l_{32}^{(k)} &= -\cos \theta_k \sin \varphi_k, & l_{33}^{(k)} &= \sin \theta_k, & & & 1 \leq k \leq N \end{aligned} \quad (4)$$

(соотношения (4) могут быть использованы и в случае общей анизотропии материалов арматуры, но тогда все характеристики материала волокон  $k$ -го семейства обязательно должны быть заданы именно в этой системе координат).

Так как установить фактическое распределение тепловых потоков и температурного поля в пространственно-армированном материале весьма затруднительно, то при нахождении практически пригодных зависимостей для определения шести независимых теплофизических характеристик в виде компонент линейной теплопроводности  $\lambda_{ij}$  ( $\lambda_{ij} = \lambda_{ji}, i, j = 1, 2, 3$ ) необходимо сделать некоторые допущения, аналогичные тем, что были использованы в [2, 5] для вывода формул, определяющих эффективные коэффициенты теплопроводности однонаправленно и ортогонально армированных сред:

1. Армированный материал представляет собой сплошное макроскопически квазиоднородное анизотропное тело. (При достаточно густом равномерном насыщении связующего волокнами это предположение вполне допустимо. К этому выводу приходят все исследователи, изучающие свойства армированных сред [4].)

2. На границах между связующим и армирующими элементами реализуются условия идеального теплового контакта.

3. Приращение усредненной температуры  $T$  вдоль произвольно ориентированного отрезка элементарной длины  $dl$  равно сумме приращений температур в компонентах композиции, которые этот отрезок пересекает.

4. Связь между вектором теплового потока и градиентом температуры во всех компонентах композиции подчиняется линейному закону теплопроводности Фурье (2).

5. В качестве условия эквивалентности выступает равенство удельной диссипации в фиктивном однородном анизотропном материале диссипации в рассматриваемом композите.

При переходе от глобальной системы координат  $x_1, x_2, x_3$  к локальной системе  $x_1^{(k)}, x_2^{(k)}, x_3^{(k)}$  имеют место преобразования векторов (3):

$$\bar{\mathbf{q}}_k = L_k \mathbf{q}_k \quad (\bar{q}_i^{(k)} = \sum_{j=1}^3 l_{ij}^{(k)} q_j^{(k)}), \quad \bar{\mathbf{g}}_k = L_k \mathbf{g}_k \quad (\bar{g}_i^{(k)} = \sum_{j=1}^3 l_{ij}^{(k)} g_j^{(k)}), \quad i = 1, 2, 3) \quad (5)$$

и обратные им преобразования:

$$\mathbf{q}_k = L_k^* \bar{\mathbf{q}}_k, \quad \mathbf{g}_k = L_k^* \bar{\mathbf{g}}_k, \quad 1 \leq k \leq N, \quad (6)$$

где  $L_k = \left( l_{ij}^{(k)} \right)$  —  $3 \times 3$  ортогональная матрица (см. табл. 1).

Из допущения 3 по аналогии с [2, 5] вытекает равенство

$$\mathbf{g} = \omega_0 \mathbf{g}_0 + \sum_k \omega_k \mathbf{g}_k. \quad (7)$$

Таким образом допущение 3 эквивалентно допущению 3': градиент усредненной температуры  $T$  подсчитывается по правилу простой смеси от градиентов температур  $T_0, T_k$  в компонентах композиции.

Из допущения 2 и условий сопряжения тепловых потоков и полей температур на границах контакта связующего и армирующих элементов с учетом соотношений, аналогичных (5), получим

$$\bar{q}_i^{(k)} = \bar{q}_i^{(0)} = \sum_{j=1}^3 l_{ij}^{(k)} q_j^{(0)} \quad (i = 2, 3, \quad 1 \leq k \leq N), \quad (8)$$

$$\bar{g}_1^{(k)} = \bar{g}_1^{(0)} = \sum_{j=1}^3 l_{1j}^{(k)} g_j^{(0)} \quad \left( \frac{\partial T_k}{\partial x_1^{(k)}} = \frac{\partial T_0}{\partial x_1^{(k)}} = \sum_{j=1}^3 l_{1j}^{(k)} \frac{\partial T_0}{\partial x_j}, \quad 1 \leq k \leq N \right). \quad (9)$$

Из равенств (8), (9) с учетом (2) и допущения 4 следует

$$\bar{g}_1^{(k)} = \sum_{j=1}^3 l_{1j}^{(k)} g_j^{(0)}, \quad \sum_{j=1}^3 \bar{\lambda}_{ij}^{(k)} \bar{g}_j^{(k)} = \sum_{j=1}^3 l_{ij}^{(k)} \sum_{m=1}^3 \lambda_{jm}^{(0)} g_m^{(0)} \quad (i = 2, 3, \quad 1 \leq k \leq N). \quad (10)$$

Эту систему запишем в матричной форме

$$B_k \bar{\mathbf{g}}_k = C_k \mathbf{g}_0, \quad 1 \leq k \leq N, \quad (11)$$

где компоненты  $3 \times 3$  матриц  $B_k = (B_{ij}^{(k)})$ ,  $C_k = (C_{ij}^{(k)})$ , согласно (10), определяются так:

$$\begin{aligned} B_{11}^{(k)} &= 1, \quad B_{1j}^{(k)} = 0 \quad (j = 2, 3), \quad B_{ij}^{(k)} = \bar{\lambda}_{ij}^{(k)} \quad (i = 2, 3, \quad j = 1, 2, 3), \\ C_{1j}^{(k)} &= l_{1j}^{(k)} \quad (j = 1, 2, 3), \quad C_{ij}^{(k)} = \sum_{m=1}^3 l_{im}^{(k)} \lambda_{mj}^{(0)} \quad (i = 2, 3, \quad j = 1, 2, 3). \end{aligned} \quad (12)$$

В силу (12)  $\det B_k \neq 0$ , поэтому из (11) получаем

$$\bar{\mathbf{g}}_k = E_k \mathbf{g}_0 \quad (1 \leq k \leq N), \quad (13)$$

где

$$E_k = B_k^{-1} C_k, \quad (14)$$

$B_k^{-1}$  —  $3 \times 3$  матрица, обратная  $B_k$ .

Соотношение (13) определяет градиент температуры  $\bar{\mathbf{g}}_k$  в волокнах  $k$ -го семейства (определенный в локальной системе координат  $x_i^{(k)}$ ) через градиент температуры  $\mathbf{g}_0$  в связующем (заданный в глобальной системе  $x_i$ ).

Подставим второе равенство (6) в соотношение (7) и учтем (13):

$$\mathbf{g} = \omega_0 \mathbf{g}_0 + \sum_k \omega_k L_k^* \bar{\mathbf{g}}_k = \left( \omega_0 I + \sum_k \omega_k L_k^* E_k \right) \mathbf{g}_0, \quad (15)$$

где  $I$  —  $3 \times 3$  единичная матрица.

Выразим из (15)  $\mathbf{g}_0$  через  $\mathbf{g}$ , тогда

$$\mathbf{g}_0 = H \mathbf{g}, \quad (16)$$

где

$$H = \left( \omega_0 I + \sum_k \omega_k L_k^* E_k \right)^{-1}. \quad (17)$$

Соотношение (16) определяет градиент температуры  $T_0$  в связующем через градиент усредненной температуры  $T$ .

Согласно допущениям 1, 5 и выражению для диссипации  $D$  [6] имеем

$$D \equiv 1/2 \mathbf{g}^* \Lambda \mathbf{g} = 1/2 \omega_0 \mathbf{g}_0^* \Lambda_0 \mathbf{g}_0 + 1/2 \sum_k \omega_k \bar{\mathbf{g}}_k^* \bar{\Lambda}_k \bar{\mathbf{g}}_k. \quad (18)$$

Используя (13), исключим из (18) векторы  $\bar{\mathbf{g}}_k$ :

$$\mathbf{g}^* \Lambda \mathbf{g} = \omega_0 \mathbf{g}_0^* \Lambda_0 \mathbf{g}_0 + \sum_k \omega_k \mathbf{g}_0^* E_k^* \bar{\Lambda}_k E_k \mathbf{g}_0 = \mathbf{g}_0^* \left( \omega_0 \Lambda_0 + \sum_k \omega_k E_k^* \bar{\Lambda}_k E_k \right) \mathbf{g}_0.$$

Отсюда, с учетом (16), получим

$$\mathbf{g}^* \Lambda \mathbf{g} = \mathbf{g}^* H^* \left( \omega_0 \Lambda_0 + \sum_k \omega_k E_k^* \bar{\Lambda}_k E_k \right) H \mathbf{g}. \quad (19)$$

Так как равенство в (19) должно выполняться при произвольном векторе  $\mathbf{g}$ , то из него вытекает следующее соотношение:

$$\Lambda = H^* \left( \omega_0 \Lambda_0 + \sum_k \omega_k E_k^* \bar{\Lambda}_k E_k \right) H, \quad (20)$$

где нужно учесть выражения для  $3 \times 3$  матриц (17), (14), (12).

Таким образом, равенство (20) определяет в матричной форме все эффективные коэффициенты теплопроводности пространственно-армированного композита.

Важной особенностью предложенной модели является возможность определения по градиенту усредненной температуры  $\mathbf{g}$  (см. (3)) тепловых потоков и градиентов температур  $\mathbf{g}_0$ ,  $\bar{\mathbf{g}}_k$  во всех компонентах композиции. Действительно, если из решения задачи теплопроводности для эквивалентной среды известен градиент усредненной температуры  $\mathbf{g} = \text{grad}_x T$ , то из (16) и (13) можно последовательно определить градиенты температур в связующем  $\mathbf{g}_0$  и армирующих волокнах  $\bar{\mathbf{g}}_k$ , а затем, используя закон Фурье (2), можно вычислить и тепловые потоки в соответствующих компонентах композиции ( $\mathbf{q}_0$ ,  $\bar{\mathbf{q}}_k$ ). Знание же градиентов температур  $\mathbf{g}_0$ ,  $\bar{\mathbf{g}}_k$  имеет принципиальное значение, например, при использовании в дальнейшем нелокальных структурных критериев (теорий) прочности в случаях расчета композитной конструкции при интенсивном термосиловом нагружении.

Эффективные коэффициенты теплопроводности пространственно-армированного композита выше были получены на основе метода, который условно можно назвать “статическим”, так как в качестве одной из гипотез (допущения 3') использовалось равенство (7), связывающее между собой градиент усредненной температуры  $\mathbf{g}$  с градиентами температур в компонентах композиции  $\mathbf{g}_0$ ,  $\mathbf{g}_k$ , которые представляют собой термодинамические силы [6]. При этом никаких допущений о связи усредненного теплового потока  $\mathbf{q}$  в композиции с тепловыми потоками  $\mathbf{q}_0$ ,  $\mathbf{q}_k$  в фазовых материалах не делалось. Определить же эффективные теплофизические характеристики рассматриваемого композита можно, введя соответствующую гипотезу, позволяющую связать  $\mathbf{q}$  с  $\mathbf{q}_0$ ,  $\mathbf{q}_k$ , и не делая никаких допущений о связи  $\mathbf{g}$  с  $\mathbf{g}_0$ ,  $\mathbf{g}_k$  ( $1 \leq k \leq N$ ). Так как, согласно работе [6], с точки

зрения термодинамики тепловые потоки являются скоростями тепловых смещений, то второй подход можно условно назвать «кинематическим» методом определения эффективных коэффициентов теплопроводности композита.

По аналогии с подходами структурной механики композитов [7], с учетом введенных понятий «кинематического» и «статического» методов (в термодинамическом смысле), можно показать, что статический метод дает верхнюю оценку расчетных значений эффективных коэффициентов теплопроводности композита, а кинематический метод — нижнюю оценку этих же величин. Знание же верхней и нижней оценок дает представление о точности определения расчетных характеристик композиции.

В связи с этим, далее настоящее исследование посвятим вычислению эффективных коэффициентов теплопроводности пространственно-армированного гибридного композита кинематическим методом. При этом допущения 1, 2, 4, 5 остаются без изменений, а вместо гипотезы 3 (или, что то же самое, 3') примем следующее предположение:

3'' усредненный тепловой поток через произвольно ориентированную элементарную площадку подсчитывается по правилу простой смеси тепловых потоков в компонентах композиции.

Соотношения закона Фурье (2) в этом случае целесообразно переписать в следующей форме:

$$\mathbf{g} = -K\mathbf{q}, \quad \mathbf{g}_0 = -K_0\mathbf{q}_0, \quad \bar{\mathbf{g}}_k = -\bar{K}_k\bar{\mathbf{q}}_k \quad (k = 1, 2, \dots, N), \quad (21)$$

где  $K \equiv (\kappa_{ij}) = \Lambda^{-1}$ ,  $K_0 \equiv (\kappa_{ij}^{(0)}) = \Lambda_0^{-1}$ ,  $\bar{K}_k \equiv (\bar{\kappa}_{ij}^{(k)}) = \bar{\Lambda}_k^{-1}$  —  $3 \times 3$  симметричные матрицы, обратные матрицам  $\Lambda$ ,  $\Lambda_0$ ,  $\bar{\Lambda}_k$ , элементы матриц  $K_0$ ,  $\bar{K}_k$  известны, а элементы матрицы  $K$  подлежат определению.

Согласно допущению 5, с учетом (21), вместо (18) получим ([6])

$$D \equiv 1/2 \mathbf{q}^* K \mathbf{q} = 1/2 \omega_0 \mathbf{q}_0^* K_0 \mathbf{q}_0 + 1/2 \sum_k \omega_k \bar{\mathbf{q}}_k^* \bar{K}_k \bar{\mathbf{q}}_k. \quad (22)$$

Выразим в (22)  $\bar{\mathbf{q}}_k$  через  $\mathbf{q}_0$ . С этой целью используем условия сопряжения теплофизических полей (8), (9), из которых с учетом (21) и допущения 4 следует

$$\sum_{j=1}^3 \bar{\kappa}_{1j}^{(k)} \bar{q}_j^{(k)} = \sum_{j=1}^3 l_{1j}^{(k)} \sum_{m=1}^3 \kappa_{jm}^{(0)} q_m^{(0)}, \quad \bar{q}_i^{(k)} = \sum_{j=1}^3 l_{ij}^{(k)} q_j^{(0)} \quad (i = 2, 3, 1 \leq k \leq N). \quad (23)$$

Эту систему запишем в матричной форме

$$Q_k \bar{\mathbf{q}}_k = F_k \mathbf{q}_0, \quad 1 \leq k \leq N, \quad (24)$$

где ненулевые элементы  $3 \times 3$  матриц  $Q_k = (Q_{ij}^{(k)})$ ,  $F_k = (F_{ij}^{(k)})$ , согласно (23), определяются так:

$$Q_{1j}^{(k)} = \bar{\kappa}_{1j}^{(k)}, \quad F_{1j}^{(k)} = \sum_{m=1}^3 l_{1m}^{(k)} \kappa_{mj}^{(0)} \quad (j = 1, 2, 3), \quad (25)$$

$$Q_{ii}^{(k)} = 1, \quad F_{ij}^{(k)} = l_{ij}^{(k)} \quad (i = 2, 3, j = 1, 2, 3, 1 \leq k \leq N).$$

В силу (25)  $\det Q_k \neq 0$ , поэтому из (24) получаем

$$\bar{\mathbf{q}}_k = G_k \mathbf{q}_0, \quad 1 \leq k \leq N, \quad (26)$$

где

$$G_k = Q_k^{-1} F_k, \quad (27)$$

$Q_k^{-1}$  —  $3 \times 3$  матрица, обратная  $Q_k$ .

Соотношение (26) определяет тепловой поток  $\bar{\mathbf{q}}_k$  в волокнах  $k$ -го семейства (определенный в локальной системе координат  $x_i^{(k)}$ ) через тепловой поток  $\mathbf{q}_0$  в связующем (заданный в глобальной системе  $x_i$ ).

Подставим (26) в равенство (22), получим:

$$\mathbf{q}^* K \mathbf{q} = \omega_0 \mathbf{q}_0^* K_0 \mathbf{q}_0 + \sum_k \omega_k \mathbf{q}_0^* G_k^* \bar{K}_k G_k \mathbf{q}_0 = \mathbf{q}_0^* \left( \omega_0 K_0 + \sum_k \omega_k G_k^* \bar{K}_k G_k \right) \mathbf{q}_0. \quad (28)$$

Выразим здесь  $\mathbf{q}_0$  через  $\mathbf{q}$ . С этой целью воспользуемся допущением 3", из которого следует

$$\mathbf{q} = \omega_0 \mathbf{q}_0 + \sum_k \omega_k \mathbf{q}_k. \quad (29)$$

Исключим из (29) векторы  $\mathbf{q}_k$ , используя последовательно соотношения (6) и (26):

$$\mathbf{q} = \omega_0 \mathbf{q}_0 + \sum_k \omega_k L_k^* \bar{\mathbf{q}}_k = \omega_0 \mathbf{q}_0 + \sum_k \omega_k L_k^* G_k \mathbf{q}_0 = \left( \omega_0 I + \sum_k \omega_k L_k^* G_k \right) \mathbf{q}_0.$$

Отсюда следует

$$\mathbf{q}_0 = P \mathbf{q}, \quad (30)$$

где  $3 \times 3$  матрица

$$P = \left( \omega_0 I + \sum_k \omega_k L_k^* G_k \right)^{-1}. \quad (31)$$

Соотношение (30) определяет тепловой поток в связующем  $\mathbf{q}_0$  через усредненный тепловой поток  $\mathbf{q}$  в композиции.

Подставим (30) в равенство (28), получим

$$\mathbf{q}^* K \mathbf{q} = \mathbf{q}^* P^* \left( \omega_0 K_0 + \sum_k \omega_k G_k^* \bar{K}_k G_k \right) P \mathbf{q}. \quad (32)$$

Так как равенство в (32) должно выполняться при произвольном векторе  $\mathbf{q}$ , то из него вытекает следующее соотношение:

$$K = P^* \left( \omega_0 K_0 + \sum_k \omega_k G_k^* \bar{K}_k G_k \right) P, \quad (33)$$

где нужно учесть выражения для  $3 \times 3$  матриц (31), (27), (25). В силу самого определения матриц  $\Lambda$ ,  $K$  (см. (2), (21)) из (33) вытекает

$$\Lambda = K^{-1}. \quad (34)$$

Таким образом, равенства (34), (33) определяют в матричной форме все эффективные коэффициенты теплопроводности пространственно-армированного композита, полученные на основе кинематического метода.

В рамках этого подхода так же, как и в случае статического метода, можно определить тепловые потоки и градиенты температур в компонентах композиции через усредненный тепловой поток в фиктивном материале. Действительно, если из решения задачи теплопроводности для эквивалентной среды известен усредненный тепловой поток  $\mathbf{q}$ , то из (30), (26) можно последовательно определить



тепловые потоки в связующем  $\mathbf{q}_0$  и арматуре  $\bar{\mathbf{q}}_k$ , а затем, используя закон Фурье в форме (21), можно вычислить и градиенты температур в соответствующих компонентах композиции ( $\mathbf{g}_0, \bar{\mathbf{g}}_k$ ).

В силу самой структуры правых частей в равенствах (20), (33) и в силу симметрии матриц  $\Lambda_0, \bar{\Lambda}_k, K_0, \bar{K}_k$ , разыскиваемые матрицы  $\Lambda, K$  также являются симметричными, что находится в полном согласии с постулатом Онзагера.

Полученные в настоящем исследовании соотношения (20), (33), (34) могут быть использованы для определения эффективных коэффициентов теплопроводности композитов, армированных усиливающими элементами с покрытиями (типа борных волокон [8]), а также при учете переходных зон, возникающих в силу химического взаимодействия арматуры со связующим на границах их контактов (зоны интерметаллидов в металлокомпозитах и т. п.) или частичного разрушения компонент композиции на этих границах. Для этого указанные покрытия или зоны нужно рассматривать как дополнительные фиктивные семейства волокон или дисперсных включений, удельное объемное содержание и теплофизические характеристики которых известны.

Помимо эффективных коэффициентов теплопроводности  $\Lambda = (\lambda_{ij})$  ( $\lambda_{ij} = \lambda_{ji}$ ,  $i, j = 1, 2, 3$ ) важной интегральной теплофизической характеристикой композита является удельная теплоемкость  $C$ , которая для армированного материала, как и приведенная объемная плотность  $R$ , определяется по правилу простой смеси [9]

$$C = \omega_0 \rho_0 c_0 + \sum_k \omega_k \rho_k c_k, \quad R = \omega_0 \rho_0 + \sum_k \omega_k \rho_k,$$

где  $\rho_0, \rho_k$  — объемные плотности материалов связующего и волокон  $k$ -го семейства соответственно,  $c_0, c_k$  — удельные теплоемкости тех же материалов.

### Сравнение расчетных и экспериментальных значений эффективных характеристик теплопроводности волокнистых материалов

Прежде всего, отметим: при попытке сравнения результатов расчетов с экспериментальными данными приходится часто сталкиваться с тем, что в опубликованных работах не всегда приводятся необходимые данные о свойствах материалов компонент, композиций и структуре армирования (плотности и точном направлении армирования). Поэтому ниже при сравнении использовалась та доступная справочная литература, в которой были приведены необходимые для сравнительного анализа характеристики.

Сначала рассмотрим однонаправленно армированный вдоль оси  $x_1$  ( $N = 1$ ,  $\theta_1 = \pi/2$ ,  $\varphi_1 = 0$ , см. (4)) “микрочластик” на основе волокон кевлар-49 и эпоксисвязующего DER 332/Джеффамин Т-403 (коэффициенты теплопроводности компонент композиции приведены в табл. 2).

Таблица 2  
Коэффициенты теплопроводности фазовых материалов «микрочластика»

Направление	Значение $\lambda_{ii}^{(0)}$ (Вт/м·К) для эпоксисвязующего DER 332/Джеффамин Т-403 ([8], стр. 106)	Значения $\bar{\lambda}_{11}^{(k)}, \bar{\lambda}_{22}^{(k)} = \bar{\lambda}_{33}^{(k)}$ (Вт/м·К) для волокон кевлар-49 ([8], стр. 352)
Вдоль волокон	0,133	4,816 ( $\bar{\lambda}_{11}^{(k)}$ )
Поперек волокон	0,133	4,110 ( $\bar{\lambda}_{22}^{(k)} = \bar{\lambda}_{33}^{(k)}$ )

Таблица 3

Значения эффективных коэффициентов теплопроводности однонаправленного «микропластика» на основе кевлара-49 и эпоксисвязующего DER 332/Джеффамин Т-403 при плотности армирования  $\omega_1 = 0,6$

Источник данных	$\lambda_{11}$ , Вт/м·К	$\lambda_{22} = \lambda_{33}$ , Вт/м·К
Экспериментальные значения ([8], стр. 368)	3,22	0,35
Расчетная формула (20)	2,9428	0,3171
Структурные модели из [2, 5]	2,9428	0,3171
Расчетные формулы (33), (34)	2,9428	0,3171

В табл. 3 приведены экспериментальные и расчетные (определенные на основе трех моделей) значения  $\lambda_{11}$ ,  $\lambda_{22} = \lambda_{33}$  для указанной композиции при плотности армирования  $\omega_1 = 0,6$ . Из этой таблицы следует, что все три использованные структурные модели теплопроводности в случае однонаправленно армированного композита дают одни и те же результаты (отметим, что модели, предложенные в [2, 5], не базировались на энергетическом условии эквивалентности (18) или (22), в них вместо допущения 5 использовалась гипотеза 3"). Из табл. 3 вытекает, что рассчитанные значения коэффициента продольной теплопроводности рассматриваемой композиции  $\lambda_{11}$  меньше экспериментального значения на 8,6 %, а расчетные значения коэффициентов поперечной теплопроводности ( $\lambda_{22} = \lambda_{33}$ ) меньше экспериментального значения на 9,4 %.

В работе [10] проведено сравнение с экспериментом не только для модели, предложенной в [5], но и для других структурных теплофизических моделей волокнистых сред, представленных в работах [11], [12]. Как показано в работе [10], обе эти модели хуже согласуются с экспериментом (отклонение для  $\lambda_{22} = \lambda_{33}$  составляет более 30 %) по сравнению с расчетными значениями, приведенными в табл. 3.

Как уже отмечалось во введении, на практике армирование конструкций осуществляется не в одном направлении, а перекрестно несколькими семействами волокон. В табл. 4 приведены расчетные значения эффективных коэффициентов теплопроводности ортогонально армированного в плоскости  $x_1, x_2$  ( $N = 2$ ,  $\theta_1 = \theta_2 = \pi/2$ ,  $\varphi_1 = 0$ ,  $\varphi_2 = \pi/2$ , см. (4)) органопластика на основе эпоксисвязующего и волокон кевлар-49. Как видно из этой таблицы, в случае перекрестной укладки в плоскости  $x_1, x_2$  волокон из одного и того же материала ( $\bar{\lambda}_{ii}^{(1)} = \bar{\lambda}_{ii}^{(2)}$ ,  $i = 1, 2, 3$ ) коэффициент поперечной теплопроводности  $\lambda_{33}$  композиции не зависит от количественного распределения волокон в разных направлениях армирования, а зависит лишь от удельной суммарной интенсивности армирования  $\Omega = \omega_1 + \omega_2$  (в рамках структурной модели из работы [2] этот факт был предсказан теоретически; см. [2, 10]). Кроме того, согласно табл. 4, расчетные значения  $\lambda_{33}$ , определенные по всем трем исследуемым моделям, полностью совпадают и отличаются от эксперимента (см. сноску в табл. 4) всего на 8,9 %. Напротив, при определении эффективных коэффициентов теплопроводности композиции в плоскости армирования существенное влияние на расчетные значения  $\lambda_{ii}$  оказывает удельное объемное содержание волокон  $\omega_i$  в каждом направлении армирования  $x_i$  ( $i = 1, 2$ ), а также выбор теплофизической модели композиции. Из табл. 4 видно, что, как и было предсказано в предыдущем разделе, расчетная формула (20) ("статический" метод) дает верхнюю оценку, а формулы (33), (34) ("кинематический" метод) —

Таблица 4

Расчетные значения коэффициентов теплопроводности перекрестно-армированного композита на основе ткани кевлар-49 и эпоксидной системы DER-332/Джефамин Т-403 с объемным содержанием волокон 46 % ( $\omega_1 + \omega_2 = 0,46$ )<sup>\*</sup>

Метод расчета	$\lambda_{11}$ , Вт/м·К	$\lambda_{22}$ , Вт/м·К	$\lambda_{33}$ , Вт/м·К
Тип ткани: 120, 181, 281, 285, 328 ( $\omega_1 = \omega_2 = 0,23$ )			
Расчетная формула (20)	1,9531	1,9531	0,2397
Структурная модель из [2]	1,5565	1,5565	0,2397
Расчетные формулы (33), (34)	1,2404	1,2404	0,2397
Тип ткани: 143 ( $\omega_1 = 0,383$ , $\omega_2 = 0,077$ )			
Расчетная формула (20)	2,2377	1,1216	0,2397
Структурная модель из [2]	2,0817	0,7842	0,2397
Расчетные формулы (33), (34)	1,9365	0,5483	0,2397
Тип ткани: 243 ( $\omega_1 = 0,312$ , $\omega_2 = 0,148$ )			
Расчетная формула (20)	2,1456	1,6127	0,2397
Структурная модель из [2]	1,8605	1,1833	0,2397
Расчетные формулы (33), (34)	1,6134	0,8683	0,2397
<sup>*</sup> Экспериментальные значения [8]: вдоль волокон — $\lambda_{ii} = 0,91$ Вт/м·К ( $i = 1$ и/или $i = 2$ ), поперек слоев ткани — $\lambda_{33} = 0,22$ Вт/м·К.			

нижнюю оценку значений эффективных коэффициентов теплопроводности  $\lambda_{ii}$  в плоскости армирования. Структурные же модели теплопроводности, предложенные в [2, 10], определяют некоторые промежуточные расчетные значения  $\lambda_{ii}$  ( $i = 1, 2$ ).

К сожалению, в работе [8] (см. табл. 12.30) не указано, для какого типа ткани кевлар-49 проводились эксперименты, а приведено лишь удельное объемное содержание волокон в композите ( $\Omega = 0,46$ ). Однако, согласно табл. 12.5 из [8], существуют разные типы тканей из пряжи кевлар-49, содержащие в разных пропорциях волокна в направлениях основы и утка, поэтому выбор типа ткани кевлар-49 оказывает существенное влияние на расчетные значения  $\lambda_{ii}$  ( $i = 1, 2$ ). Из табл. 4 видно, что разные методы определения эффективных коэффициентов теплопроводности  $\lambda_{11}$ ,  $\lambda_{22}$  дают наилучшее приближение к эксперименту (см. значение  $\lambda_{ii}$  в сноске табл. 4) для разных типов тканей кевлар-49. Так, расчетное значение  $\lambda_{22} = 0,8683$  Вт/м·К, определенное на основе формул (33), (34) для типа ткани 243, отличается от экспериментальной величины  $\lambda_{ii} = 0,91$  Вт/м·К всего на 4,6 %, а расчетное значение  $\lambda_{22} = 0,7842$  Вт/м·К, вычисленное на основе структурных формул из [2, 10] для типа ткани 143, отличается от эксперимента на 13,8 %, расчетное значение  $\lambda_{22} = 1,1216$  Вт/м·К, полученное по формуле (20) для типа ткани 143, отличается от экспериментальной величины на 23,3 %. Остальные расчетные значения дают худшее согласование с экспериментом. (Возможно, в табл. 12.30 работы [8], из которой было взято экспериментальное значение  $\lambda_{ii} = 0,91$  Вт/м·К, допущена опечатка, и истинное значение  $\lambda_{ii} = 1,91$  Вт/м·К, тогда расчетные значения  $\lambda_{11}$  для всех типов тканей удовлетворительно согласуются с экспериментом.)

Строго говоря, волокна, уложенные в направлении утка, являются криволинейными, поэтому для адекватного учета криволинейности траекторий армирования, которая имеет место в реальности [8, 13], требуется дальнейшее развитие

предложенных в настоящей работе моделей, что выходит за рамки данного исследования.

Таким образом, удовлетворительное согласование расчетных (вычисленных по формулам (20) и (33), (34)) и экспериментальных значений  $\lambda_{11}$ ,  $\lambda_{22} = \lambda_{33}$  позволяет доверительно относиться к предложенным структурным моделям теплопроводности пространственно-армированного композита.

В качестве последнего примера определим расчетные значения эффективных коэффициентов теплопроводности для пространственно-армированного в направлениях  $x_1, x_2, x_3$  органопластика ( $N = 3, \theta_1 = \theta_2 = \pi/2, \theta_3 = 0, \varphi_2 = \varphi_1 + \pi/2, \varphi_1 = 0, \varphi_3 = 0$ ) при двух наборах значений плотностей армирования [13]: для композиции I типа  $\omega_1 = 0,235, \omega_2 = 0,324, \omega_3 = 0,031, \Omega = \omega_1 + \omega_2 + \omega_3 = 0,59$ ; для композиции II типа  $\omega_1 = 0,271, \omega_2 = 0,298, \omega_3 = 0,061, \Omega = \omega_1 + \omega_2 + \omega_3 = 0,63$ .

В табл. 5 приведены ненулевые расчетные значения эффективных коэффициентов теплопроводности  $\lambda_{ij}$  указанных композиций. Как видно из этой таблицы, в случае пространственного армирования все исследуемые структурные модели теплофизического поведения волокнистого композита (в отличие от предыдущих случаев) приводят к существенно разным расчетным значениям  $\lambda_{ii}$  ( $i = 1, 2, 3$ ). Из сопоставления данных, приведенных в табл. 5, следует, что по-прежнему, как и было предсказано в предыдущем разделе, расчетная формула (20) (“статический” метод) дает верхнюю оценку, а формулы (33), (34) (“кинематический” метод) — нижнюю оценку расчетных значений эффективных коэффициентов теплопроводности, причем возникающая при этом вилка может быть значительной. Структурные же модели теплопроводности, предложенные в [2, 10], определяют некоторые промежуточные расчетные значения  $\lambda_{ii}$  ( $i = 1, 2, 3$ ).

Очевидно, что выбор той или иной из исследуемых структурных моделей теплопроводности пространственно-армированных композитов должен определяться их удовлетворительным согласованием с экспериментальными данными. К сожалению, автору неизвестны соответствующие эксперименты для пространственно-армированных волокнистых композиций.

В заключение следует подчеркнуть, что в реальных пространственно-армированных композитах траектории армирования не являются строго прямолинейными. Так, в работе [13] отмечается, что в композиции II типа траектории армирования волокнами третьего семейства ( $\omega_3 = 0,061$ ), строго говоря, являются вытянутыми эллипсами. Следовательно, для адекватного учета криволинейности траекторий армирования требуется дальнейшее развитие предложенных в настоящей работе моделей.

Таблица 5

Расчетные значения коэффициентов теплопроводности пространственно-армированных композитов на основе волокон кевлар-49 и эпоксидной системы DER-332/Джефамин Т-403

Метод расчета	$\lambda_{11}$ , Вт/м·К	$\lambda_{22}$ , Вт/м·К	$\lambda_{33}$ , Вт/м·К
Расчетная формула (20)	<u>2,7561</u> *	<u>2,9305</u>	<u>0,9785</u>
	3,1835	3,2252	1,7103
Структурные модели из [2, 10]	<u>1,8789</u>	<u>2,2223</u>	<u>0,6059</u>
	2,1484	2,2520	0,9316
Расчетные формулы (33), (34)	<u>1,2809</u>	<u>1,6853</u>	<u>0,3752</u>
	1,4499	1,5725	0,5074

\* В числителе — результаты расчета для композиции I типа, в знаменателе — для композиции II типа.

### Список литературы

1. **Немировский Ю.В., Янковский А.П.** Определение эффективных физико-механических характеристик гибридных композитов, перекрестно армированных трансверсально-изотропными волокнами, и сопоставление расчетных характеристик с экспериментальными данными // Механика композиционных материалов и конструкций. 2007. Т. 13, № 1. С. 3–32.
2. **Немировский Ю.В., Янковский А.П.** Проектирование армированных композитов с заданным набором эффективных теплофизических характеристик и некоторые смежные задачи диагностики их свойств // Теплофизика и аэромеханика. 2008. Т. 15, № 2. С. 291–306.
3. **Пространственно-армированные** композиционные материалы: справочник / Ю. М. Тарнопольский, И.Г. Жигун, В.А. Поляков. М.: Машиностроение, 1987. 224 с.
4. **Малмейстер А.К., Тамуж В.П., Тетерс Г.А.** Сопротивление жестких полимерных материалов. Рига: Зинатне, 1972. 500 с.
5. **Немировский Ю.В., Янковский А.П.** Теплопроводность волокнистых оболочек // Теплофизика и аэромеханика. 1998. Т. 5, № 2. С. 215–235.
6. **Бюо М.** Вариационные принципы в теории теплообмена. М.: Энергия, 1975. 208 с.
7. **Фудзин Т., Дзак М.** Механика разрушения композиционных материалов. М.: Мир, 1982. 232 с.
8. **Справочник** по композитным материалам: в 2-х кн., кн. 1 / под ред. Дж. Любина; пер. с англ. А.Б. Геллера, М.М. Гельмонта; под ред. Б.Э. Геллера. М.: Машиностроение, 1988. 448 с.
9. **Композиционные материалы.** Справочник / под ред. Д.М. Карпиноса. Киев: Наукова думка, 1985. 592 с.
10. **Немировский Ю. В., Янковский А. П.** Моделирование процессов теплопроводности в ортогонально армированных гибридных композитах с дисперсным упрочнением связующего // Прикладная физика. 2008. № 5. С. 10–17.
11. **Ванин Г.А.** Микромеханика композитных материалов. Киев: Наукова думка, 1985. 304 с.
12. **Шленский О.Ф.** Тепловые свойства стеклопластиков. М.: Химия, 1973. 220 с.
13. **Жигун И.Г., Душин М.И., Поляков В.А., Якушин В.А.** Композиционные материалы, армированные системой прямых взаимно ортогональных волокон. 2. Экспериментальное изучение // Механика полимеров. 1973. № 6. С. 1011–1018.

*Статья поступила в редакцию 31 августа 2010 г.*